

セパラトリックス閉路によるリミットサイクルの分岐

徳島大工 離子 川上 博
Kawakami Hiroshi

1. 問題の記述

高次元力学系(相空間の次元が3以上)にみられる準周期解とその分岐に関してはこれまで実験的に

- (1) 準周期解が周期倍分岐を起し次々と周期成分の大きな準周期解へと分岐していく、
- (2) 準周期解が準安定形周期解の安定・不安定多様体と衝突し突然消滅する。

などの興味ある現象が知られている⁽¹⁾。

ここではこれらの分岐の1つの定性的説明法として、平均化法により導かれた自律系にみられるリミットサイクルの分岐を考察する。この場合リミットサイクルは元の方程式の準周期解に対応し、上述べた(1)の現象はリミットサイクルに関するPoincaré mapの不動点の周期倍分岐として計算できる。次で計算上特に問題となるのは(2)の現象に対応したリミットサイクルと準安定形平衡点のセパラトリックス閉路に関する解の大域的性質による分岐である。

3次元以上の自律系ではリミットサイクルの周期倍分岐によって生じた周期の長いリミットサイクルに関するセパラトリックス閉路の分岐が生じるため2次元自律系ではみられなかた新しい分岐の型が現われる。セパラトリックス閉路に関する問題は

- (1) 閉路を生じる系のパラメータ値を決定する具体的な計算法,
- (2) 分岐集合の性質に関して Feigenbaum の結果のような一般的性質があるのか。等の疑問が挙げられる。

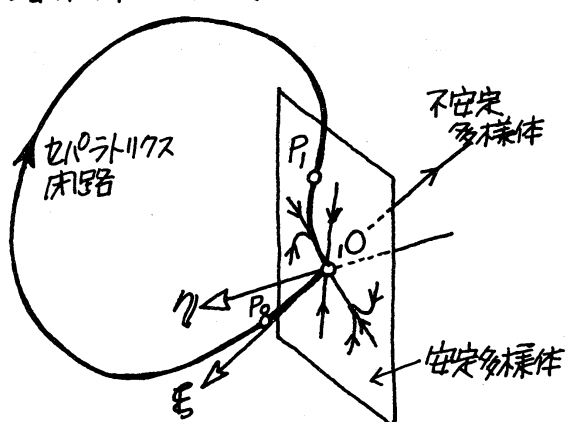
2. セパラトリックス閉路によるリミットサイクルの分岐集合

2.1 分岐値の計算法

今3次元自律系を

$$\frac{dx}{dt} = f(x, \lambda) \quad (1)$$

とする。ここに $x = (u, v, w) \in \mathbb{R}^3$: 状態, $\lambda \in \mathbb{R}^m$: 系のパラメータただし分岐集合を計算する際は $(m-1)$ 個の成分を固定し、パラメータは1個（スカラー）と考える。 $f: \mathbb{R}^3 \times \mathbb{R}^m \rightarrow \mathbb{R}^3$ は以下の議論に必要な諸条件を満足しているものと仮定する。図1のように式(1)の1つ



の鞍形平衡点 O がセパラトリックス閉路を持つ場合を考える。ただし O は1次元の不安定

図1. O の近傍とセパラトリックス閉路

多様体と2次元の安定多様体(2つの固有値は実数)を持つ平衡束とする。図中の記号を用いてセパラトリックス閉路の生じる条件は次のように述べることができる:

[閉路の条件] Ω の近傍内にある不安定多様体上の1点 P_0 を発じた解(これが自身 Ω の不安定多様体でありかつ安定多様体ともなる。ホモクリニック解)が適当な時間で後、 Ω の近傍内 安定多様体上の一点 P_1 に帰ってくる。

さて図1のセパラトリックス閉路を与えるパラメータ λ_0 の近似値が分かるとき、これがともに Newton 法により λ_0 を計算する。 Ω の近傍を十分小さく選んで安定・不安定多様体の線形近似を用い上述の条件を表現すれば次式となる。

$$f(x_0, \lambda_0) = 0 \quad (2) \quad ; \quad \{x_0 \text{ は, } \Omega \text{ の座標}\} \quad \text{「近似」}$$

$$(D_x f(x_0, \lambda_0) - \mu_1 I_3) \xi = 0 \quad (3) \quad ; \quad \{\operatorname{Re} \mu_1 > 0, \xi \text{ は不安定多様体の線形}\}$$

$$\xi^T \xi - \delta^2 = 0 \quad (4) \quad ; \quad \{\|\xi\| = \delta \text{ とした } \delta = 0.005 \text{ 程度}\}$$

$$(D_x f(x_0, \lambda_0))^T - \mu_2 I_3) \eta = 0 \quad (5) \quad ; \quad \{\mu_2 = \mu_1 \text{ ときは安定多様体に垂直}\}$$

$$\eta^T \eta - 1 = 0 \quad (6) \quad ; \quad \{\eta \text{ の正规化}\} \quad \text{「これはハクトレ」}$$

$$\eta^T [\phi(t, x_0 + \xi, \lambda_0) - x_0] = 0 \quad (7) \quad ; \quad \{ \text{点 } P_1 \text{ が安定多様体にのっている条件}\}$$

ただし $\phi(t, x_0, \lambda)$ は式(1)の解を表わすここに $\phi(0, x_0, \lambda) = x_0$ 。式(2)～(7)を $x_0, \xi, \eta, \lambda_0, \mu_1, \mu_2$ を未知数と考えて Newton 法でとく。ここで解いた時 $\mu_1 = \mu_2$ となる解を採用する。

[注] パラメータ λ_0 を変数と考えて式(7)を満足するよう Newton 法を用い

てもよいがこの場合 Jacobi 行列が非常に複雑なものとなる。 $x_0, \epsilon, \gamma, \mu$ などが λ の関数とおっているからである。上述の方法ではこれらを独立変数とみなしている。この種の問題ではどのような方程式系を解かが数值計算上楽であるかは大いに問題である。なお Newton 法の初期値は位相空間図を用ひながら試行錯誤的に見いたした。この点にも具体的な問題に応じて経験が必要である。

2.2 分岐集合の定性的形状

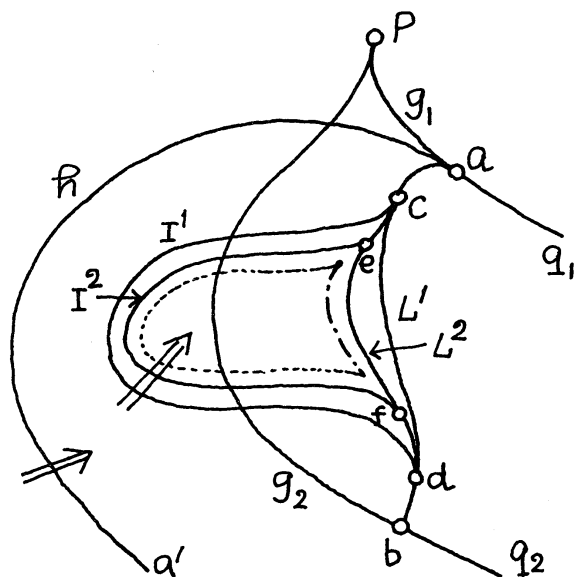


図2. リミットサイクルの分岐集合.

2-パラメータ自律系で $1 \rightarrow 1$
パラメータを動かさせて前節の方法
でセパラトリックス閉路を与える分
岐値 λ_0 を求める。このあと除々
に固定したパラメータを変化させ λ_0
を逐次計算すれば 2-パラメータ平
面上に分岐を与える曲線（分岐
集合）が得られる。この方法で
計算した分岐集合の簡単な例

を述べる。図2はリミットサイクルの周期倍分岐とその結果生じるリミットサイクルのセパラトリックス閉路による分岐集合を定性的に描いた図である。

[図2の説明] 曲線 g_1, g_2 ($\overline{q_1 a P}$ と $\overline{P b q_2}$)：平衡対称の発生・
消滅の分岐曲線。 $q_1 a P q_2 b q_2$ で囲まれた領域で O が存在する。

その外側の領域では平衡点は1個と考える。

曲線 $\Gamma(\widehat{aha'})$: 平衡点の Hopf 分岐。 \Rightarrow 方向にペラメータが変化すると安定な平衡点が Hopf 分岐し、不安定なリミットサイクルが発生する。

曲線 $\Gamma^j(CId), \Gamma^2(e\widehat{I^2f})$: 1巻, 2巻 リミットサイクルの I 型(周期倍)分岐。 \Rightarrow 方向にペラメータが変化すると Hopf 分岐で生じたリミットサイクルが次々と周期倍分岐をおこし、束縛で周期倍分岐が無限に達する。 Γ^2 と束縛の間にには $\Gamma^j (j=2^2, 2^3, \dots)$ の分岐曲線がある。

曲線 $L'(\widehat{acL'db}), L^2(\widehat{ceL^2fd})$: 1巻または 2巻 リミットサイクルのセペラトリクル閉路による分岐。 L' 上 $\widehat{ac}, \widehat{db}$ の部分では安定な1巻リミットサイクルが、 \widehat{cd} の部分では I 型不安定リミットサイクルが閉路に着する。同様に L^2 上 $\widehat{ce}, \widehat{fd}$ の部分では安定な2巻リミットサイクルが、 \widehat{ef} の部分では2巻 I 型不安定リミットサイクルが閉路に着する。このパターンは j 巻 ($j=2^2, 2^3, \dots$) リミットサイクルについても同様でその結果1束縛線の曲線のような無限巻リミットサイクルについても同様でその結果1束縛線の曲線のように無限巻リミットサイクルのセペラトリクス閉路への着を示すペラメータがあるものと考えられる。

なお束縛 a, c, d, e, f での3本の分岐曲線は互に接しているものと考えられる。

[注] 具体的な方程式で数値計算した結果みると上述の分岐のほかに別のリミットサイクル対の発生や消滅がみられ、これらに対するセペラトリクス閉路の分岐集合が関係し、分岐集合の図は非常に複雑となる場合がある。またリミットサイクル対が発生した場合 D 型不安定リミットサイクルのセペラトリクス閉路による分岐も考えられる。これらの実験結果の一部は文献 [2] 参照。

3. 具体的な計算例.

非線形インダクタを含む電気回路の例を考える⁽¹⁾。このモデルから得られる方程式は

$$\begin{aligned}\frac{dx}{dt} &= y \\ \frac{dy}{dt} &= -R_1 y - \frac{1}{8} (x^2 + 3z^2) x + B \cos t \\ \frac{dz}{dt} &= -\frac{1}{8} R_2 (3x^2 + z^2) z + B_0\end{aligned}\tag{8}$$

である。式(8)には $\text{ラ}x - \text{タ} R_1, R_2, B_0, B$ の適当な領域で前述(S1)の現象がみられる。

$$\begin{aligned}x &= u \cos t + v \sin t \\ y &= -u \sin t + v \cos t \\ z &= w\end{aligned}\tag{9}$$

により複数変換 $(x, y, z) \rightarrow (u, v, w)$ が得られ、平均化法により u, v, w に関する自律系を得る。

$$\begin{aligned}\frac{du}{dt} &= \frac{1}{2} (-R_1 u - A v) \\ \frac{dv}{dt} &= \frac{1}{2} (A u - R_1 v + B) \\ \frac{dw}{dt} &= B_0 - \frac{1}{16} R_2 (3r^2 + 2w^2) w\end{aligned}\tag{10}$$

を得る。ここで

$$r^2 = u^2 + v^2, \quad A = 1 - \frac{3}{32} (r^2 + 4w^2)$$

である。次に式(10)にみられる分歧集合を計算した結果を図示する。

図3および図4は式(10)において $B_0 = 0.03$, $R_2 = 0.05$ と固定し,
 B および R_1 を変化させた場合にみられる分歧集合を示している。

(1) 平衡点の分歧

2束鎖線 g_1, g_2, g_3, g_4 は平衡点対の発生・消滅の分歧集合を表わす。
 これらの曲線で囲まれた領域で“平衡点”が3つ存在し、その1つが“O形”である。
 1束鎖線 h は Hopf 分岐集合を表わす。パラメータを曲線 h を横切り左から
 右に変化させれば“1つの安定なリミットサイクルが Hopf 分岐に不安定なリミットサイクル
 が現われる。

(2) リミットサイクルの分歧

曲線 I ($\widehat{c_1 I d_1}$) : Hopf 分岐の結果生じたリミットサイクルが“周期倍分岐”
 を生じるパラメータ。

曲線 I_1^2 ($\widehat{e_1 I_1^2 f_1}$), I_2^2 ($\widehat{i_1 I_2^2 j_1}$) : 曲線 I 上で分岐の結合生じて2巻リミット
 サイクルが“周期倍分岐”により4巻リミットサイクルと変化する分岐のパラメータ。図
 4 $\widehat{e_1 p_1 f_1}$ で示した曲線上で2巻リミットサイクル対の発生・消滅の分岐がみられる。

曲線 G^3 ($\widehat{a_2 G^3 b_2}$) : 3巻リミットサイクル対の発生・消滅の分岐集合。

曲線 L' ($\widehat{a_1 c_1 L' d_1 b_1}$) : 1巻リミットサイクルのセパラトリックス閉路による消滅
 の分岐曲線。 a, c_1, b, d_1 部分で安定なま $c_1 L' d_1$ の部分で逆不安定なり
 リミットサイクルがセパラトリックス閉路に着する。

曲線 L^2 ($\widehat{c_1 e_1 f_1}, \widehat{f_1 i_1}, \widehat{i_1 j_1 d_1}$) : 2巻リミットサイクルのセパラトリックス閉路による
 分岐集合。曲線 L_1^3 ($\widehat{a_2 L_1^3 b_2}$), L_2^3 ($\widehat{a_2 L_2^3 b_2}$) : 3巻リミットサイクルの
 セパラトリックス閉路による分岐 L_1^3 で逆不安定, L_2^3 で正不安定リミットサイクルが分岐する。

すれちぎり限界サイクルがセパラトリックス閉路とゆき消滅する位空間図の例を図5～図7に示した。

4. むすび

3次元自律系の例にみられるセパラトリックス閉路による限界サイクルの分岐について報告した。現在のところ実験から帰納法で得る結果を得るに至っていないが、はじめに述べておいたように周期倍分岐により生じた限界サイクル産生かのようにセパラトリックス閉路と関連して分岐するかは興味ある問題である。

文献

- [1] 川上・勝田：3階ダフィング方程式のホップ分岐とカオス、電子通信学会論文誌(A), J-64-A, 11, pp 940-947 (日B56).
- [2] 川上・川口：セパラトリックス閉路による限界サイクルの大域的な分岐、電子通信学会技術報告 NLP 82-12 (日B57)
- [3] J.E. Evans, N. Fenichel and J.A. Feroe: Double impulse solutions in nerve axon equations; SIAM J. Appl. Math. 42, 2, pp 219-233 (1982).
またこれらの結果は1960年代後半にソ連ゴーリキ大の人達によって研究があることを知った(Л.П.Шильников, В.В.Быковの結果など)。具体的な系への応用を検討したいと考えている。

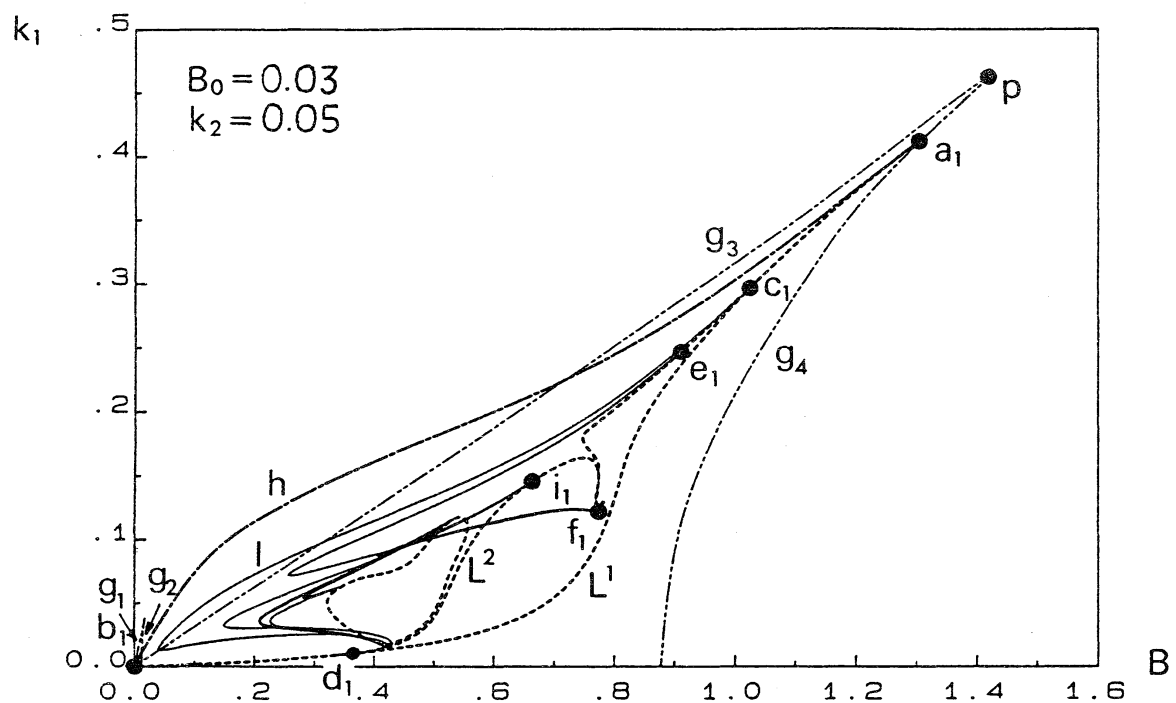


図3. 式(10)にみられる平衡点, リミットサイクルの分歧集合.

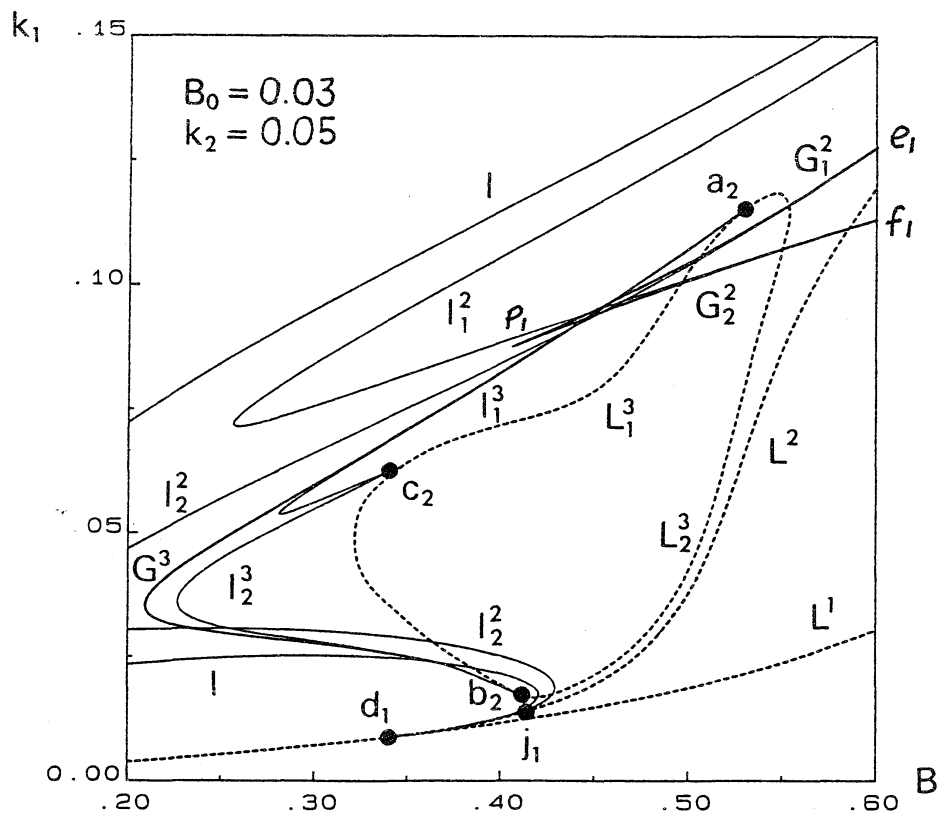
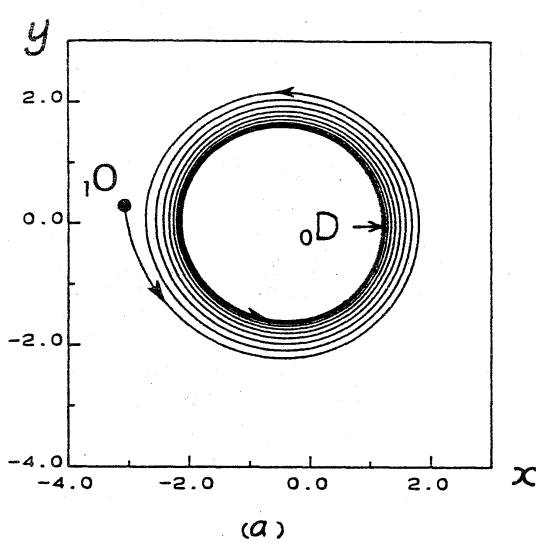
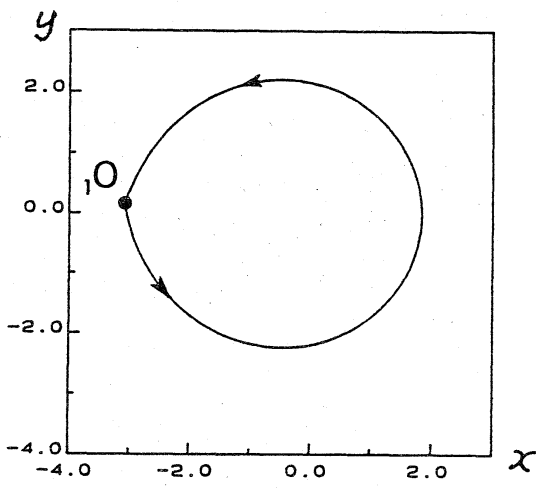


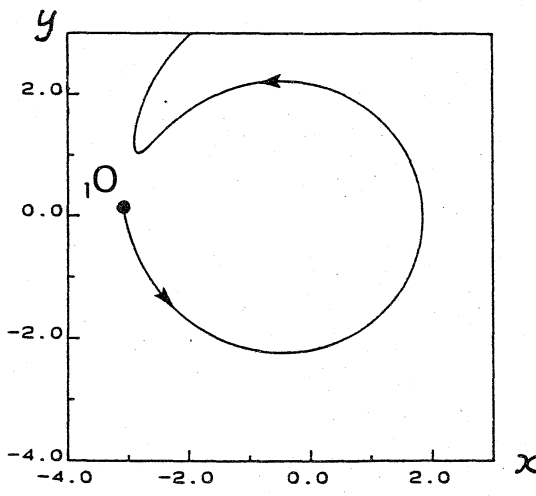
図4. 図3の一部拡大図.



(a)

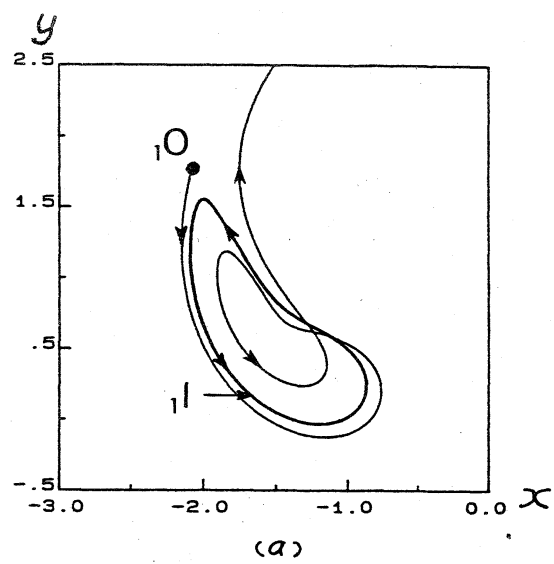


(b)

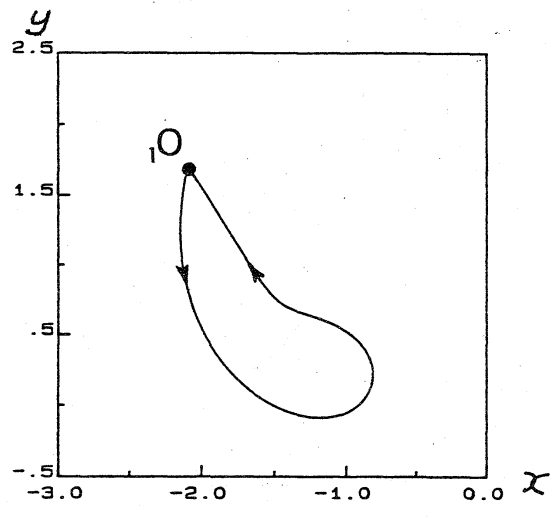


(c)

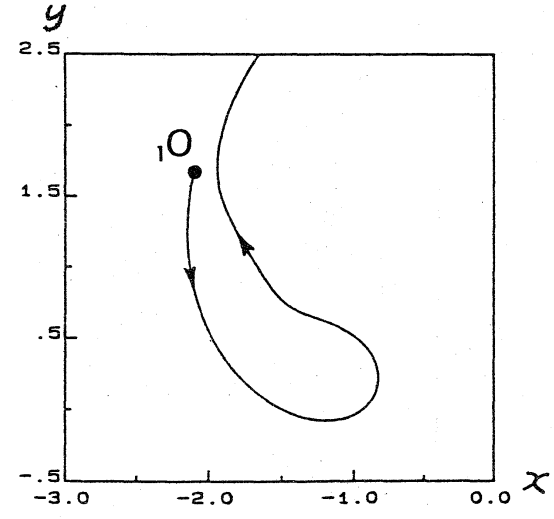
図5. 安定リミットサイクルの消滅。
(xy平面への射影図)



(a)



(b)



(c)

図6. 逆不安定(工形)リミットサイクルの消滅。
(xy平面への射影図)

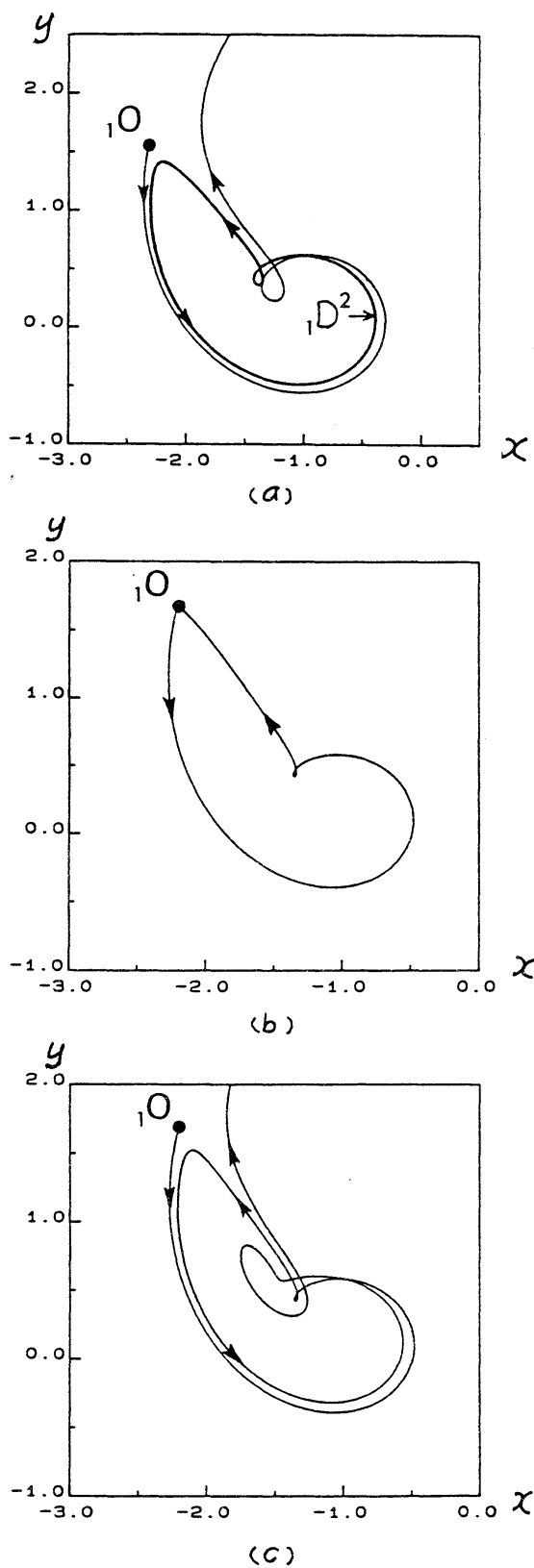


図7. 正不安定(D^2)リミットサイクルの消滅。
(x - y 平面への射影図)

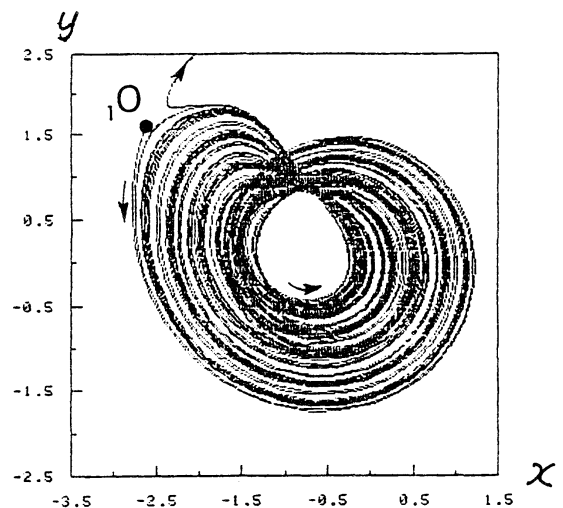


図8. 卷数の多いリミットサイクルの消滅例。

図5～図8はリミットサイクルがセパレートリクス閉路とゆき消滅する場合の位空間図の一例を示す。ここに
 $1O$: $1O$ 形平衡点、

$1D$: 完全安定1巻リミットサイクル、

$1I$: 過不安定1巻リミットサイクル、

$1D^2$: 正不安定2巻リミットサイクル

を表わす。

各図のパラメータは次表の通り：

図の記号	B	k_1
5	(a) 0.2	0.06
	(b) 0.2	0.003813
	(c) 0.2	0.003
6	(a) 0.84	0.2
	(b) 0.855659	0.2
	(c) 0.86	0.2
7	(a) 0.7	0.14
	(b) 0.75	0.164245
	(c) 0.75	0.1645
8	0.265	0.045